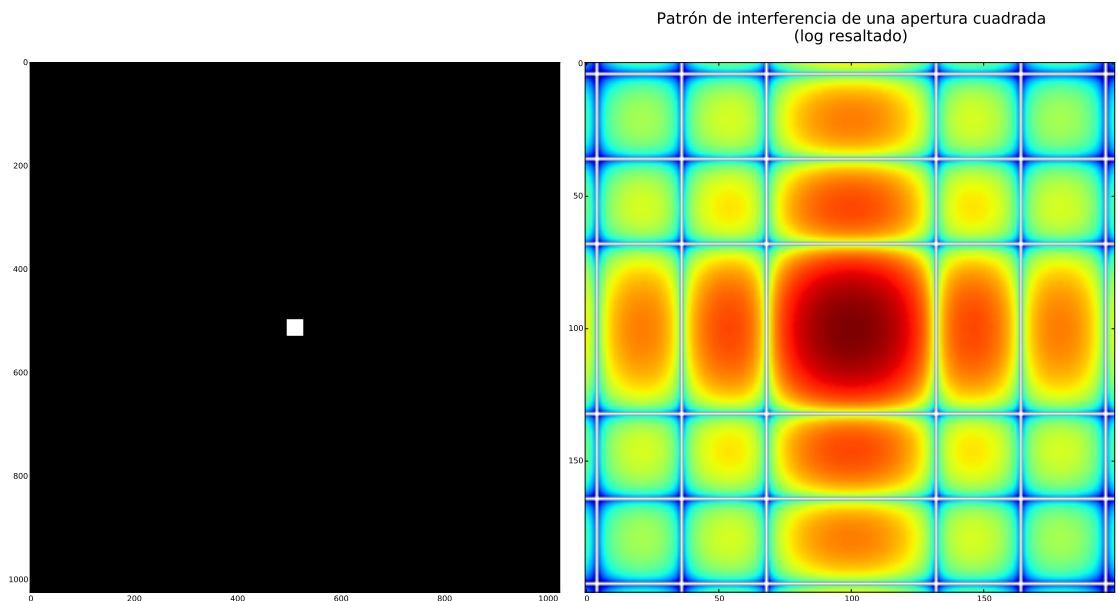
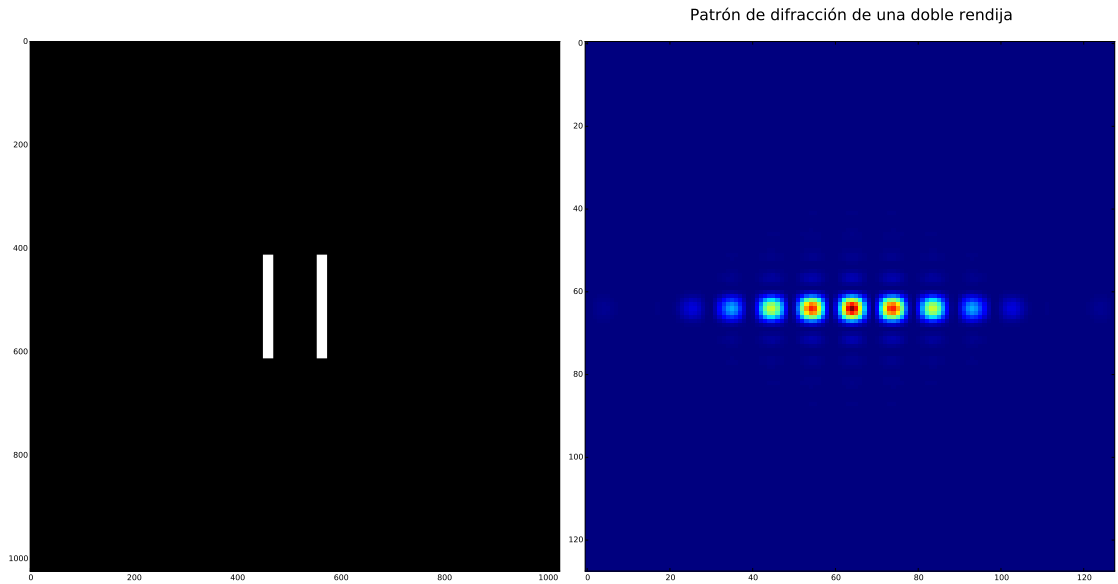


La solución a este taller debe presentarse en un *notebook* llamado `HW4.ipynb` y debe cargarse a su repositorio en GitHub en la carpeta `/MC/Tareas/HW4/`. Es requisito que en todo lo hecho se pongan comentarios que expliquen lo que se está haciendo. La fecha límite para hacer un commit es el **jueves 25 de junio a las 23:59**. Puede trabajar en parejas.

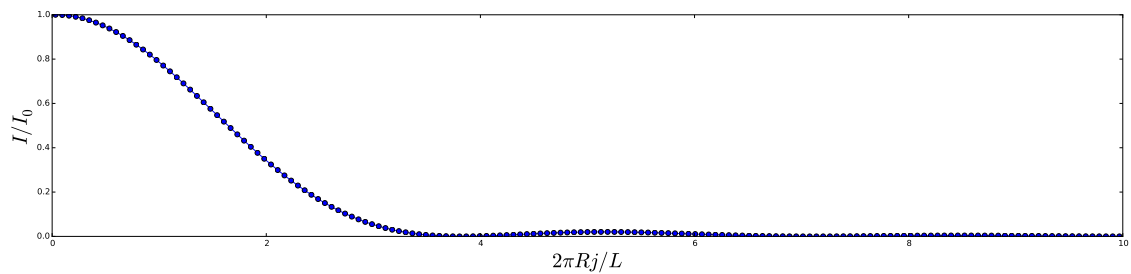
1. (Difracción de Fraunhofer) El patrón de difracción producido por una apertura en el régimen de Fraunhofer (ver [Born & Wolf, Principles of Optics](#) capítulo 8) puede encontrarse a través de una integral de Fourier y aproximarse numéricamente a través de una DFT. En este ejercicio exploramos los patrones de difracción producidos por aperturas de diferentes formas usando diferentes *pupil functions* (ver Born. pág 385). Imaginamos que las aperturas se encuentran en el centro de una placa de lado $L = 1$ u y la representamos por medio de un array cuadrado de 1024 elementos en cada dirección.
 - (a) 20 pt Comenzando con un array de ceros de lado 1024 manipularlo con ciclos o usando *slice notation* para dejar todo en cero excepto elementos en un cuadrado de lado 32 en el centro.
 - (b) 20 pt Calcular la DFT del array resultante y aplicar sobre él la función `fftshift`, esto hace un cambio de coordenadas que arroja el patrón de interferencia esperado. De lo resultante tomar del centro un cuadrado de lado 200 y producir una imagen del logaritmo del módulo al cuadrado usando `imshow` con la representación de la apertura a su izquierda.



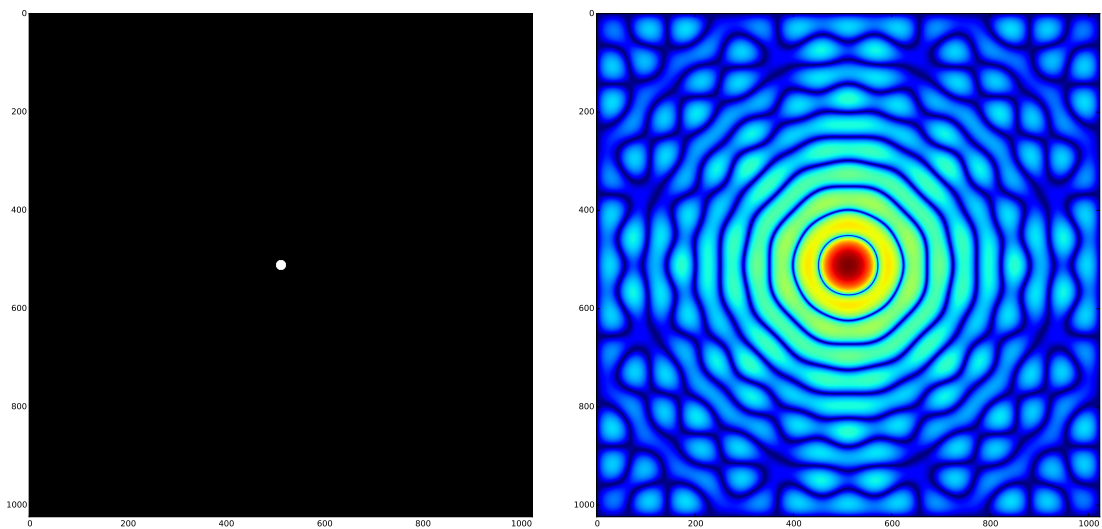
- (c) 20 pt Repita los dos anteriores literales para una doble rendija cada una de ellas con una altura de 200, grosor 20 y con sus ejes en las columnas 460 y 564. Esta vez tome un cuadrado de lado 128 para la gráfica del patrón de difracción y no resalte con \log .



- (d) 20 pt Ahora hágalo para una apertura circular de radio 0.01 u y además de lo anterior tome ahora la fila central y tomando como abscisas $2\pi \cdot \text{radio} / \lambda \cdot \text{linspace}(-512, 512, 1024)$ reproduzca la gráfica mostrada abajo; las abscisas están así elegidas para hacer comparable nuestro resultado con lo mostrado en la pág. 396 de los *Principles* de Born. I_0 es la amplitud máxima.



Patrón de interferencia de una apertura circular (Patrón de Airy)
log resaltado



- (e) 20 pt Usando las mismas ordenadas y abscisas del anterior literal calcular los máximos y mínimos entre 0. y 12.0. Al hacerlo **debe** utilizar interpolación en algún momento. Compare sus resultados con la tabla mostrada en la pág. 397 de los *Principles*:

TABLE XX

The first few maxima and minima of the function

$$y = \left(\frac{2J_1(x)}{x} \right)^2.$$

x	$\left(\frac{2J_1(x)}{x} \right)^2$	
0	1	Max.
$1.220\pi = 3.833$	0	Min.
$1.635\pi = 5.136$	0.0175	Max.
$2.233\pi = 7.016$	0	Min.
$2.679\pi = 8.417$	0.0042	Max.
$3.238\pi = 10.174$	0	Min.
$3.699\pi = 11.620$	0.0016	Max.

COMENTARIOS:

- Si al aplicar `log` encuentra una advertencia sobre el intento de hacer `log(0)` sume 1 a todo antes de usarlo.
- El panel para la apertura circular se hizo con la ayuda de `subplot2grid`:

```
plt.figure(figsize=(20,15))
plt.subplot2grid((3,2),(0,0),colspan=2,rowspan=1)

...

plt.subplot2grid((3,2),(1,0),rowspan=2)

...

plt.subplot2grid((3,2),(1,1),rowspan=2)

...

plt.tight_layout()
plt.show()
```